



Mise à jour de factorisations de Cholesky creuses dans le contexte de la simulation chirurgicale interactive

Auteur : Philippe PINÇON
Encadrants : François JOURDES et Michel DUPREZ

Master CSMI - Stage de fin d'études

1 Mars - 31 Août 2021

Sommaire

P. Pinçon (Master CSMI)

- 1 Introduction
- 2 Objectifs
- 3 Étude
 - Factorisation de Cholesky Left-Looking
 - Warp-Canceling Corotation
- 4 Résultats
- 5 Conclusion
- 6 Bibliographie

Sommaire

- 1 Introduction
- 2 Objectifs
- 3 Étude
- 4 Résultats
- 5 Conclusion
- 6 Bibliographie

InSimo

- Entreprise développant des logiciels de simulation pour la formation médicale et chirurgicale.
- Effectif de 22 employés (ingénieurs, développeurs, chefs d'équipe, responsables marketing et communication).
- Créée en 2013 par des chercheurs de l'Inria.



MIMESIS

- Équipe-projet de recherche du centre Inria-Nancy Grand Est située à l'IHU de Strasbourg.
- Développe différents outils de réalité augmentée et de simulation au service de la formation médicale et de la planification d'opérations chirurgicales.
- Vise à créer une synergie entre cliniciens et chercheurs.



Figure: Simulateur de cardiologie

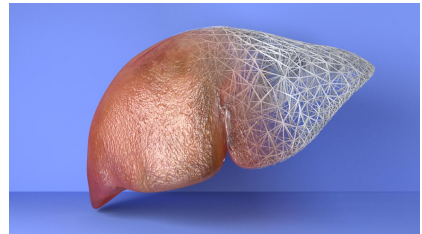


Figure: Modélisation du foie et de ses structures internes

SOFA

- Le framework SOFA[1] est un moteur physique open-source.
- Langage C++.
- Biomécanique (Mécanique du solide, des fluides, ...)



Sommaire

- 1 Introduction
- 2 Objectifs**
- 3 Étude
- 4 Résultats
- 5 Conclusion
- 6 Bibliographie

Présentation du sujet

- 1 Stage de recherche et développement en algèbre linéaire, analyse numérique et simulation numérique.
- 2 Enjeux de la simulation biomédicale en temps réel :
 - Chercher à améliorer les performances de calculs pour une simulation toujours plus fluide et précise.
 - Reproduire avec exactitude le comportement dynamique des organes.
- 3 Objectif principal : étudier la possibilité de faire des mises à jour d'une factorisation de Cholesky (stabilité, performances, ...).
- 4 Objectif final : développer un nouveau solveur linéaire dans SOFA.

Objectifs clés

- 1 Étudier l'implémentation left-looking de la factorisation de Cholesky et l'implémenter dans une bibliothèque open-source. (*SuiteSparse/CSparse*)
- 2 Implémenter une méthode éléments finis permettant d'obtenir des performances rapides en n'apportant que des changements partiels aux matrices du système linéarisé de la simulation dans SOFA.
- 3 Étudier la stabilité de la méthode en effectuant des factorisations de Cholesky complètes.
- 4 Tester les performances de la factorisation de Cholesky left-looking (complète et partielle).
- 5 Implémenter la factorisation de Cholesky left-looking dans SOFA.

Sommaire

1 Introduction

2 Objectifs

3 Étude

- Factorisation de Cholesky Left-Looking
- Warp-Canceling Corotation

4 Résultats

5 Conclusion

6 Bibliographie

Déroulement d'une simulation

$$m \frac{dv(t)}{dt} = ma(t) = \vec{f}$$

$$M\ddot{x} + B\dot{x} + K(x - x_0) = f_{ext} \quad (1)$$

On discrétise l'évolution temporelle d'équation par de petits pas de temps. (résolution par un schéma d'intégration d'Euler implicite)

$$(M + \Delta t B + \Delta t^2 K)\dot{x}^{t+1} = M\dot{x}^t + \Delta t(f_{ext}^{t+1} + f_{els}^t) \quad (2)$$

Construction de la matrice globale $A = M + \Delta t B + \Delta t^2 K$ à partir de la contribution de chaque élément du maillage.

$$\begin{bmatrix} \blacksquare & & \blacksquare & & \blacksquare \\ & \blacksquare & & \blacksquare & \\ \blacksquare & & \blacksquare & \blacksquare & \\ & \blacksquare & \blacksquare & \blacksquare & \blacksquare \\ \blacksquare & & \blacksquare & \blacksquare & \blacksquare \end{bmatrix} \begin{bmatrix} \dot{x}^{t+1} \end{bmatrix} = \begin{bmatrix} b \end{bmatrix}$$

- On résout un système linéaire défini positif à chaque pas de temps de la simulation. (factorisation de Cholesky + méthode de descente remontée)



Implémentation d'une factorisation de Cholesky

Théorème

Si A est une matrice symétrique définie positive, alors il existe (au moins) une matrice triangulaire inférieure inversible L telle que $A = LL^T$.

Implémentations

Il existe plusieurs implémentations de la factorisation de Cholesky[2] :

- *up-looking* (utilisée actuellement dans SOFA)
- *left-looking*
- *left-looking supernodale*
- *right-looking*
- *multi-frontal*

Déroulement d'une factorisation de Cholesky : permutations, factorisation symbolique, factorisation numérique.

Particularités de la left-looking :

- factorisation symbolique plus coûteuse calculant l'entièreté de la structure de la factorisation.
- factorisation numérique calculant uniquement les valeurs numériques des non-zéros.
- idéale pour les mises à jour : si la structure de la matrice ne change pas, pas besoin de refaire une factorisation symbolique.
- utilise l'arbre d'élimination de manière efficace (possibilité de paralléliser les calculs [*pas dans le stage*])

Algorithme :

Pour k allant de 0 à $n - 1$:

- 1 On récupère les valeurs de la colonne k de A .

$$L[k : n, k] = A[k : n, k]$$

- 2 Pour toute colonne j à gauche de k , on fait une substitution de ces colonnes à la colonne k :

$$L[k : n, k] = L[k : n, k] - L[k : n, j] \times L[k, j]$$

- 3 On récupère la racine carré du non-zéro diagonal :

$$L[k, k] = \sqrt{L[k, k]}$$

- 4 On divise le reste des non-zéros de la colonne k par le non-zéro diagonal :

$$L[k : n, k] = L[k : n, k] / L[k, k]$$

Mise à jour d'une factorisation

$$P^TAP = \begin{bmatrix} 1 & 1 & & & & & & & & & \\ 1 & 65 & & 8 & & & & & & & \\ & & 4 & 8 & 2 & & & & & & \\ & 8 & 8 & 21 & 4 & & & & & & \\ & & 2 & 4 & 21 & & & & & & \\ & & & & & 45 & 18 & 12 & 24 & & \\ & & & & & 18 & 10 & 6 & 12 & & \\ & & & & & 12 & 6 & 8 & 8 & & \\ & & & & 10 & 24 & 12 & 8 & 41 & & \\ & & & & & & & & & & \end{bmatrix}$$

$$P^T A'P = \begin{bmatrix} 1 & 1 & & & & & & & & & \\ 1 & 65 & & 8 & & & & & & & \\ & & 4 & 8 & 2 & & & & & & \\ & 8 & 8 & 21 & 4 & & & & & & \\ & & 2 & 4 & 21 & & & & & & \\ & & & & & 45 & 18 & 12 & 22 & & \\ & & & & & 18 & 10 & 6 & 12 & & \\ & & & & & 12 & 6 & 8 & 8 & & \\ & & & & 10 & 22 & 12 & 8 & 41 & & \\ & & & & & & & & & & \end{bmatrix}$$

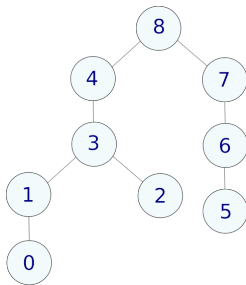


Figure: arbre d'élimination de P^TAP (et $P^T A'P$)

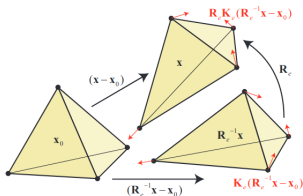
Construction de l_0 et l_1 :

$$l_0 = [5 ; 8]$$

$$l_1 = [5 ; 6 ; 7 ; 8]$$

Warp-Canceling Corotation[3]

- Mélange de deux méthodes éléments finis pour simuler des objets élastodynamiques : méthode du Corotationnel et méthode "Stiffness Warping".



- $f_e = R_n(M_e + \Delta t \tilde{B}_e + \Delta t^2 \tilde{K}_e) R_n^T v_e^t$
- Principe** : conserver/corriger localement de manière périodique les matrices de rotations nodales des éléments pour lesquels l'erreur entre les matrices de raideur exactes et approximées est petite/grande.

Zoom sur \tilde{K}_e :

$$\begin{pmatrix} R_{n_1}^T R_e & & & \\ & R_{n_2}^T R_e & & \\ & & R_{n_3}^T R_e & \\ & & & R_{n_4}^T R_e \end{pmatrix} K_e \begin{pmatrix} R_e^T R_{n_1} & & & \\ & R_e^T R_{n_2} & & \\ & & R_e^T R_{n_3} & \\ & & & R_e^T R_{n_4} \end{pmatrix}$$

- Une matrice de rotation nodale est calculée en faisant la moyenne des matrices de rotations par élément contenant le nœud.
- La matrice de raideur globale est calculée en sommant la contribution de toutes les matrices par élément \tilde{K}_e .

$$f_e = R_n(M_e + \Delta t \tilde{B}_e + \Delta t^2 \tilde{K}_e) R_n^T \dot{x}_e^t$$

$$error = \|f_{e,cor} - f_{e,apx}\|$$

- $f_{e,cor} \rightarrow \tilde{B}_{e,cor}$ et $\tilde{K}_{e,cor}$ assemblées avec les matrices de rotations nodales du pas de temps courant.
- $f_{e,apx} \rightarrow \tilde{B}_{e,apx}$ et $\tilde{K}_{e,apx}$ assemblées avec les matrices de rotations nodales du dernier pas temps pour lequel l'erreur était supérieur au seuil d'erreur choisi par l'utilisateur.

Implémentation dans SOFA

- Méthode directement implémentée dans un fichier de type "forcefield" où l'on calcule les forces.
- Assemblage de la matrice de raideur K .

```
#include "config.h"
#include <sofa/core/behavior/ForceField.h>

namespace sofa
{
namespace component
{
namespace forcefield
{
// Apply reaction forces to given degrees of freedom.
template<class DataTypes>
class TemplateForceField : public core::behavior::ForceFieldDataTypes
{
public:
    SOFA_CLASS(SOFA_TEMPLATE(TemplateForceField, DataTypes), SOFA_TEMPLATE(Core::behavior::ForceFieldDataTypes));

    // declare here the data and their type, you want the user to have access to
    data< int > d_inputForTheUser;

    // Function responsible for the initialization of the component
    void init() override;

    // Add the reaction forces (right hand side)
    void addForce(const core::MechanicalParams* param, DataDeriv d_f, const DataDeriv d_f_dot) override;

    // Add the reaction derivatives of the forces contributing to the right hand side
    // If IP is inactive, add the reaction derivatives of the forces contributing to
    void addForceDeriv(const core::MechanicalParams* mparams, DataDeriv d_d_f_dot, const DataDeriv d_d_f_dot_dot) override;

    // If IP is active, add the reaction derivatives of the forces contributing to
    void addForceDerivInactive(const core::MechanicalParams* mparams, DataDeriv d_d_f_dot, const DataDeriv d_d_f_dot_dot) override;
};
}
```

Figure: ForceField

```
template<class T> FactorizationTraits::assembleMMK(const sofa::core::MechanicalParams* mparams)
{
    // -- part that was already in the origin function assembleMMK
    // clearing is actually performed at the same time as compression
    // m_MMK.clear();
    using MatrixAccessor = sofa::component::LinearSolver::DefaultMultiMatrixAccessor; // see DefaultMultiMatrixAccessor accessor;
    accessor.clear();
    accessor.addMechanicalState(m_state.get()); // When a real NB is visited by the visitor, it must be
    accessor.setGlobalMatrix(m_MMK); // setting the global matrix for the system, its size is
    accessor.setMultiAccess(); // Resizing the Mechanical State //
    m_MMK.resize(accessor.getGlobalDimension()); // resize the global matrix
    sofa::simulation::common::MechanicalOperations::mops(mparams, getContext());
    mops.addMMK(m_state.get(), mparams->factor(), mparams->bFactor(), mparams->factor());
    sofa::helper::vector<int> nb = 1; ifField->nb;
    const MVecLD::ContinerTraits::iVectoA param = m_decomposition.getTree();
    sofa::helper::vector<int> ii;
    const double h = this->getContext()->getDI(); // time step
    m_time += h;

    int nb_upd_matrix = 0;
    int nb_upd_factor = 0;
    const VecCoord& m = m_state.read(core::ConstVecCoordId::position()->getValue());
    unsigned int nb dof = m.size();
    II.resize(nb dof, 0);
    for (int i = 0; i < (int)nb dof; i++)
    {
        if (II[i] == 1)
        {
            nb_upd_matrix++;
            for (int j = i; j < -1; j = param[j])
            {
                if (II[j] == 1) // no need to climb up further, already done.
                    break;
                II[j] = 1;
                nb_upd_factor++;
            }
        }
    }
}
```

Figure: LinearSolver



Sommaire

- 1 Introduction
- 2 Objectifs
- 3 Étude
- 4 Résultats**
- 5 Conclusion
- 6 Bibliographie

Stabilité de la Méthode



Stabilité de la Méthode



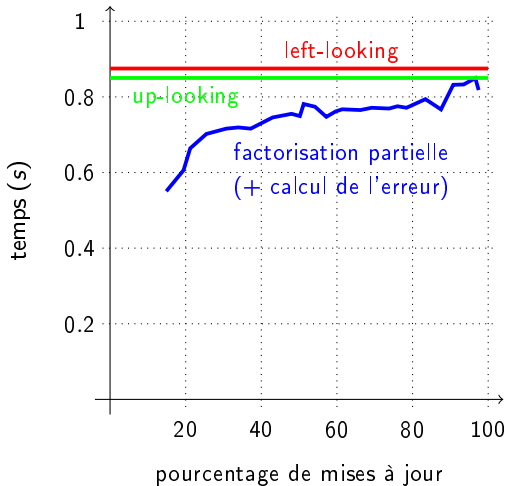
Factorisation Left-Looking

Note : le-l = cholesky left-looking up-l = cholesky up-looking

matrix order	nb nz	algorithm	% of updates	fill-in	time
3312	121968	update le-l	11.1 %	401 %	0.045825 s
3312	121968	entire le-l	none	401 %	0.070563 s
3312	121968	entire up-l	none	401 %	0.066114 s
3312	121968	update le-l	59.6 %	401 %	0.053431 s
3312	121968	entire le-l	none	401 %	0.071907 s
3312	121968	entire up-l	none	401 %	0.062844 s
10260	402516	update le-l	21.2 %	733 %	0.616136 s
10260	402516	entire le-l	none	733 %	0.869441 s
10260	402516	entire up-l	none	733 %	0.850435 s
10260	402516	update le-l	70.6 %	733 %	0.727004 s
10260	402516	entire le-l	none	733 %	0.887714 s
10260	402516	entire up-l	none	733 %	0.845634 s

Performances des mises à jour

Note : factorisation partielle tracée en faisant la moyenne de 10 exécutions



Sommaire

1 Introduction

2 Objectifs

3 Étude

4 Résultats

5 Conclusion

6 Bibliographie

Conclusion

Bilan travaux :

- Performances des mises à jour left-looking encourageantes (sans calcul parallèle).
- Stabilité de la méthode "Warp-Canceling Corotation". Plus de scènes à tester.
- Implémentation Cholesky left-looking complète en langage C. Prochain objectif : implémenter en C++ dans SOFA. (N'a pas pu être réalisé dans le temps imparti)

Bilan expérience :

- Bonne communication et entraide. (proximité encadrants, réunions stagiaires, séminaire MIMESIS)
- Première longue expérience en entreprise. (recherche et développement)
- Projet de simulation numérique. (SOFA/C et C++/Algèbre linéaire/Calcul Hautes Performances)

Bibliographie



Jérémie Allard, Stéphane Cotin, François Faure, Pierre-Jean Bessoussan, François Poyer, Christian Duriez, Hervé Delingette et Laurent Grisoni :
Sofa-an open source framework for medical simulation.
In MMVR 15-Medicine Meets Virtual Reality, volume 125, pages 13–18. IOP Press, 2007.



Timothy A Davis :
Direct methods for sparse linear systems.
SIAM, 2006.



Florian Hecht, Yeon Jin Lee, Jonathan R Shewchuk et James F O'Brien :
Updated sparse cholesky factors for corotational elastodynamics.
ACM Transactions on Graphics (TOG), 31(5):1–13, 2012.